

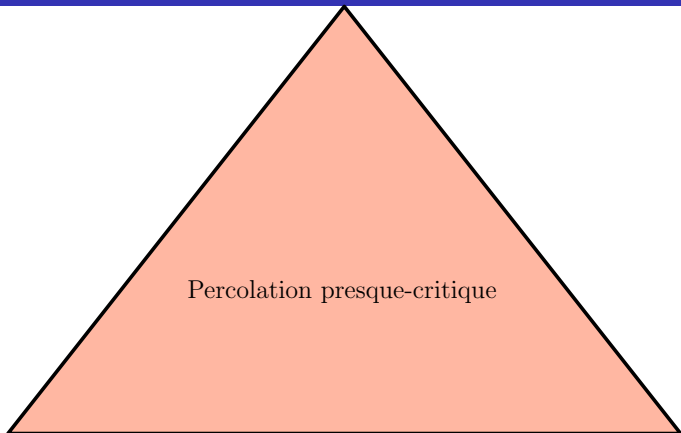
Géométrie presque-critique

Soutenance d'habilitation

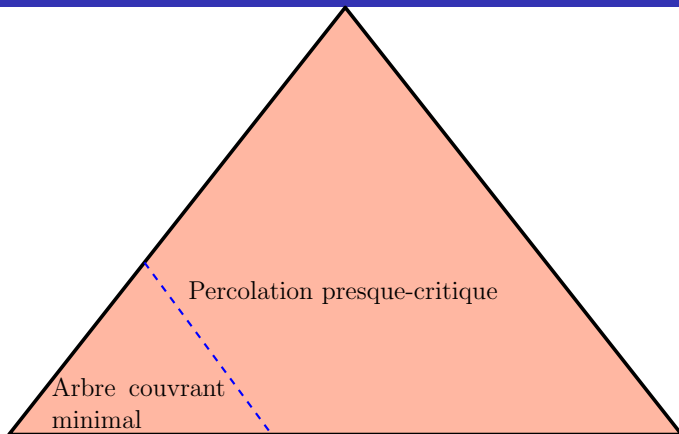
Christophe Garban
ENS Lyon, CNRS

ENS Lyon, le 9 décembre 2013

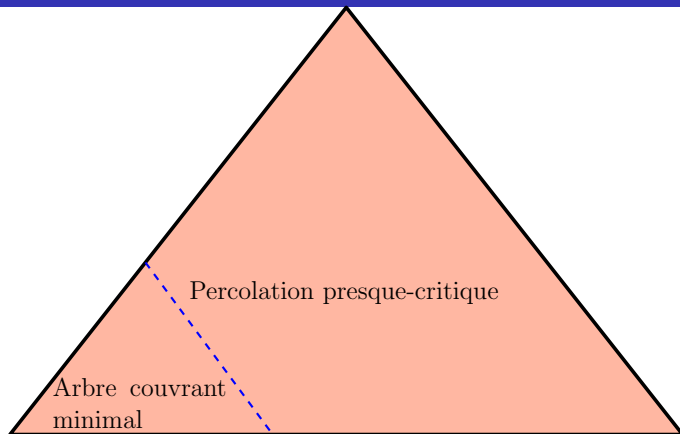




Programme de la soutenance



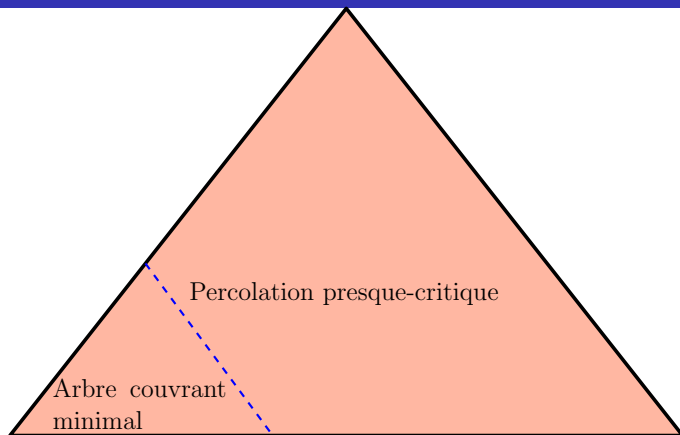
Programme de la soutenance



Ising presque-critique :

- *en température*
- *en champ magnétique*

Programme de la soutenance



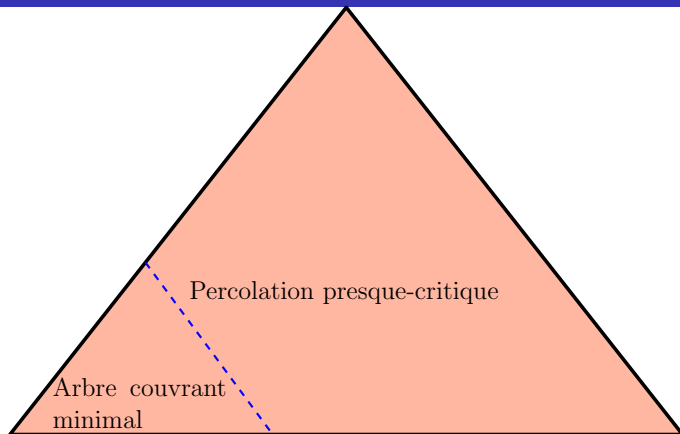
Ising presque-critique :

- *en température*
- *en champ magnétique*

Dynamiques :

- percolation FK
- percolation dynamique conservative

Programme de la soutenance



Ising presque-critique :

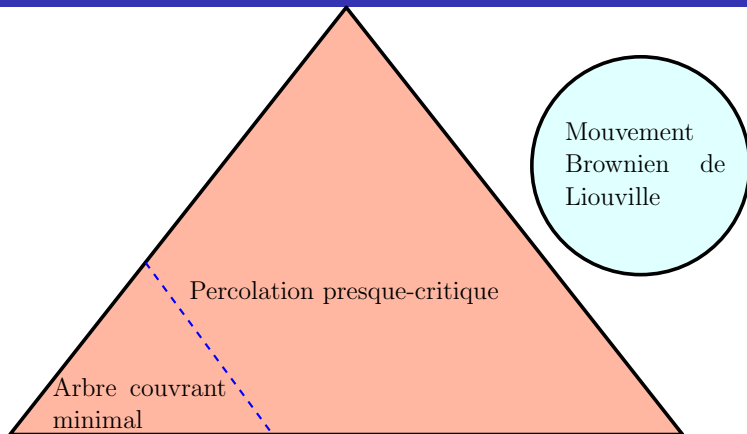
- *en température*
- *en champ magnétique*

Dynamiques :

- percolation FK
- percolation dynamique conservative

Flots coalescents (une nouvelle approche)

Programme de la soutenance



Ising presque-critique :

- *en température*
- *en champ magnétique*

Dynamiques :

- percolation FK
- percolation dynamique conservative

Flots coalescents (une nouvelle approche)

Géométrie presque-critique



-2°C



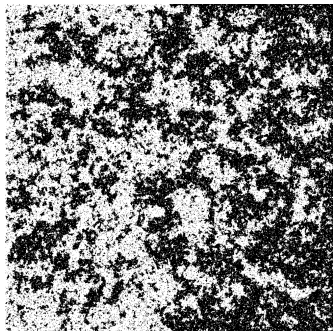
0°C



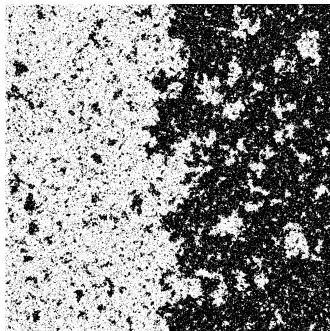
2°C

Géométrie presque-critique (suite)

Le **modèle d'Ising** près de sa température critique :



$$T = T_c$$



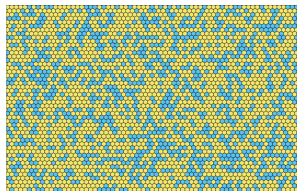
$$T = T_c - \delta T$$

Le modèle de la percolation par site sur \mathbb{T} :

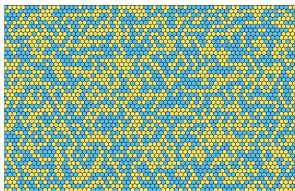


Percolation presque-critique

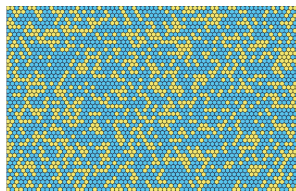
Le modèle de la percolation par site sur \mathbb{T} :



$p < 1/2$



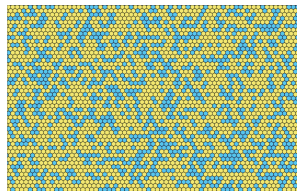
$p = 1/2$



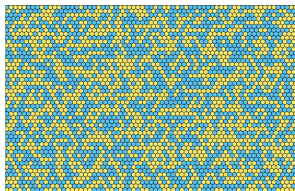
$p > 1/2$

Percolation presque-critique

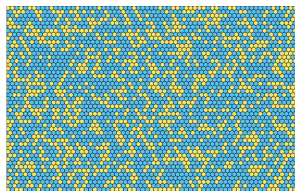
Le modèle de la percolation par site sur \mathbb{T} :



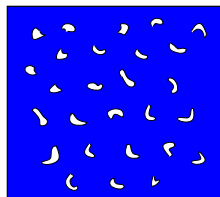
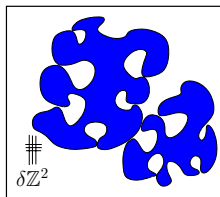
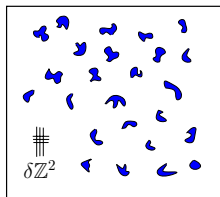
$$p < 1/2$$



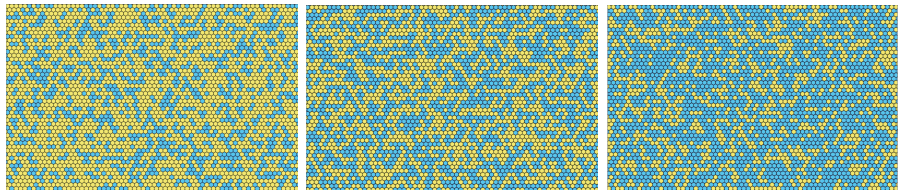
$$p = 1/2$$



$$p > 1/2$$



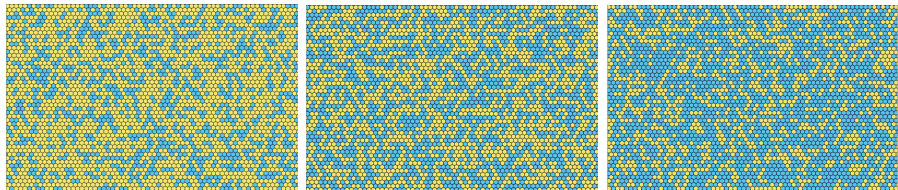
Couplage presque-critique



$\{u_x\}_{x \in \mathbb{T}}$ i.i.d $\sim \mathcal{U}([0, 1])$.

Pour tout $p \in [0, 1]$ et $x \in \mathbb{T}$, $\omega_p(x) := 1_{u_x \leq p}$

Couplage presque-critique



$\{u_x\}_{x \in \mathbb{T}}$ i.i.d $\sim \mathcal{U}([0, 1])$.

Pour tout $p \in [0, 1]$ et $x \in \mathbb{T}$, $\omega_p(x) := 1_{u_x \leq p}$

Dans la suite, on va renormaliser notre réseau de la façon suivante $\eta\mathbb{T}$ où η sera toujours la **maille** du réseau.

$\eta \rightarrow 0$??

Le bon ZOOM ?

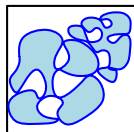
On considère le couplage $\{\omega_\eta^{\text{nc}}(\lambda)\}_{\lambda \in \mathbb{R}}$ où $\omega_\eta^{\text{nc}}(\lambda)$ est la percolation sur $\eta\mathbb{T}$ de paramètre

$$p = p_c + \lambda r(\eta)$$

Le bon ZOOM ?

On considère le couplage $\{\omega_\eta^{\text{nc}}(\lambda)\}_{\lambda \in \mathbb{R}}$ où $\omega_\eta^{\text{nc}}(\lambda)$ est la percolation sur $\eta\mathbb{T}$ de paramètre

$$p = p_c + \lambda r(\eta)$$



$\lambda < 0$



$\lambda = 0$



$\lambda > 0$

Le bon ZOOM ?

On considère le couplage $\{\omega_\eta^{\text{nc}}(\lambda)\}_{\lambda \in \mathbb{R}}$ où $\omega_\eta^{\text{nc}}(\lambda)$ est la percolation sur $\eta\mathbb{T}$ de paramètre

$$p = p_c + \lambda r(\eta)$$



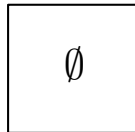
$\lambda < 0$



$\lambda = 0$



$\lambda > 0$



Le bon ZOOM ?

On considère le couplage $\{\omega_\eta^{\text{nc}}(\lambda)\}_{\lambda \in \mathbb{R}}$ où $\omega_\eta^{\text{nc}}(\lambda)$ est la percolation sur $\eta\mathbb{T}$ de paramètre

$$p = p_c + \lambda r(\eta)$$



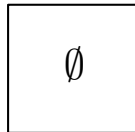
$\lambda < 0$



$\lambda = 0$



$\lambda > 0$



\emptyset



Théorème (Kesten, 1987)

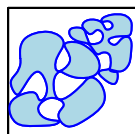
La bonne vitesse est donnée par

$$\begin{aligned} r(\eta) &:= \eta^2 \alpha_4(\eta, 1)^{-1} \\ &= \eta^{3/4+o(1)} \end{aligned}$$

Le bon ZOOM ?

On considère le couplage $\{\omega_\eta^{\text{nc}}(\lambda)\}_{\lambda \in \mathbb{R}}$ où $\omega_\eta^{\text{nc}}(\lambda)$ est la percolation sur $\eta\mathbb{T}$ de paramètre

$$p = p_c + \lambda r(\eta)$$



$\lambda < 0$



$\lambda = 0$



$\lambda > 0$



\emptyset



Théorème (Kesten, 1987)

La bonne vitesse est donnée par

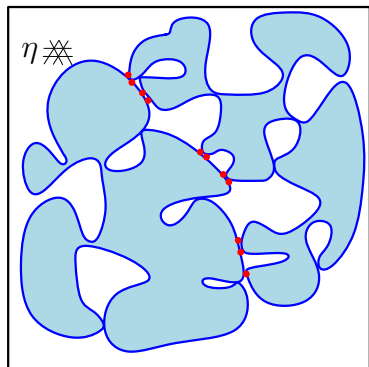
$$\begin{aligned} r(\eta) &:= \eta^2 \alpha_4(\eta, 1)^{-1} \\ &= \eta^{3/4 + o(1)} \end{aligned}$$

Définition

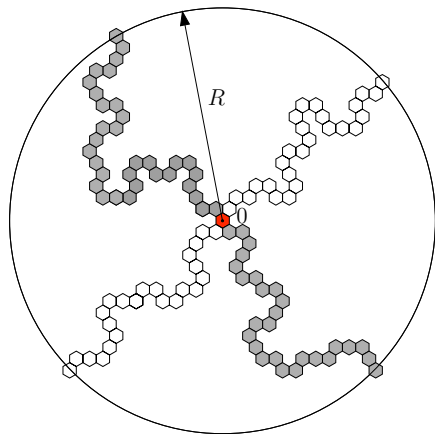
On définit ainsi pour tout $\eta > 0$ un processus càdlàg

$$\lambda \in \mathbb{R} \mapsto \omega_\eta^{\text{nc}}(\lambda) \in \{0, 1\}^{\eta\mathbb{T}}$$

Zoom et points pivots



$$\# = \eta^{-2} \alpha_4(\eta, 1)$$



Question

Est-ce que le processus $\lambda \in \mathbb{R} \mapsto \omega_\eta^{\text{nc}}(\lambda)$ converge (en loi) quand $\eta \searrow 0$ vers un processus limite

$$\lambda \mapsto \omega_\infty^{\text{nc}}(\lambda) ?$$

On verrait ainsi la transition de phase vue depuis le "continu".

Question

Est-ce que le processus $\lambda \in \mathbb{R} \mapsto \omega_\eta^{\text{nc}}(\lambda)$ converge (en loi) quand $\eta \searrow 0$ vers un processus limite

$$\lambda \mapsto \omega_\infty^{\text{nc}}(\lambda) ?$$

On verrait ainsi la transition de phase vue depuis le "continu".

- ▶ Il faut préciser quel est le **cadre** !

Question

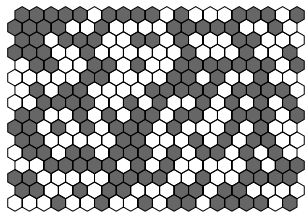
Est-ce que le processus $\lambda \in \mathbb{R} \mapsto \omega_\eta^{\text{nc}}(\lambda)$ converge (en loi) quand $\eta \searrow 0$ vers un processus limite

$$\lambda \mapsto \omega_\infty^{\text{nc}}(\lambda) ?$$

On verrait ainsi la transition de phase vue depuis le “continu”.

- ▶ Il faut préciser quel est le **cadre** !
- ▶ On cherche un espace Polonais (E, d) dont les points $\omega \in E$ sont naturellement identifiés à des **configurations de percolation**.
- ▶ De nombreuses approches ont été proposées !

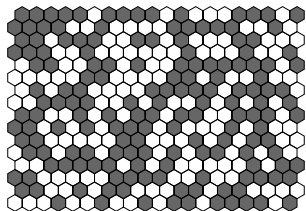
Une première idée naturelle



Cette configuration sur $\eta\mathbb{T}$ est naturellement codée par la distribution

$$X_\eta := \eta \sum_{x \in \eta\mathbb{T}} \sigma_x \delta_x$$

Une première idée naturelle

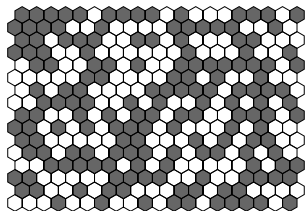


Cette configuration sur $\eta\mathbb{T}$ est naturellement codée par la distribution

$$X_\eta := \eta \sum_{x \in \eta\mathbb{T}} \sigma_x \delta_x$$

Par ailleurs $\{X_\eta\}_\eta$ est tendue dans $\mathcal{H}^{-1-\varepsilon}$ et converge vers le **bruit blanc Gaussien** sur \mathbb{R}^2 .

Une première idée naturelle



Cette configuration sur $\eta\mathbb{T}$ est naturellement codée par la distribution

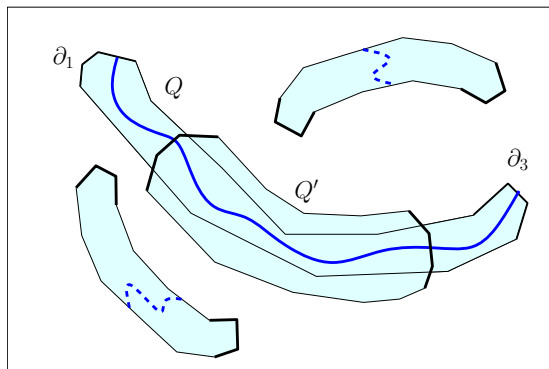
$$X_\eta := \eta \sum_{x \in \eta\mathbb{T}} \sigma_x \delta_x$$

Par ailleurs $\{X_\eta\}_\eta$ est tendue dans $\mathcal{H}^{-1-\varepsilon}$ et converge vers le **bruit blanc Gaussien** sur \mathbb{R}^2 .

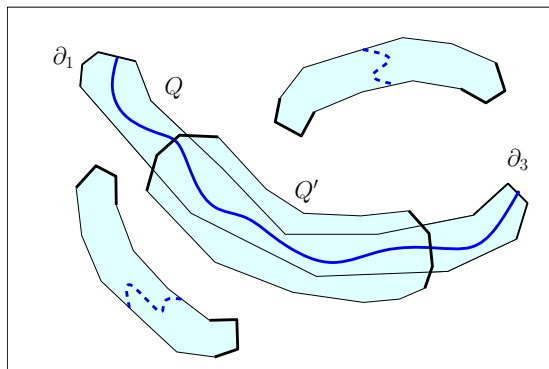
Théorème (Benjamini, Kalai, Schramm, 1999)

Ce cadre n'est pas le bon pour conserver à la limite l'information sur les "clusters". (Les observables naturelles pour la percolation sont très discontinues pour la topologie induite par $\|\cdot\|_{\mathcal{H}^{-1-\varepsilon}}$).

- 1 Aizenman 1998 et Aizenman, Burchard 1999.
- 2 Camia, Newman 2006.
- 3 L'espace topologique $(\mathcal{H}, \mathcal{T})$ de **Schramm-Smirnov** 2011

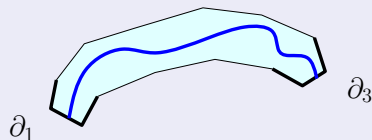


- ▶ Soit $(\mathcal{Q}, d_{\mathcal{Q}})$ l'espace de tous les **quads** (ou tubes).
- ▶ On pourrait considérer l'espace $\{0, 1\}^{\mathcal{Q}}$



- ▶ Soit $(\mathcal{Q}, d_{\mathcal{Q}})$ l'espace de tous les **quads** (ou tubes).
- ▶ On pourrait considérer l'espace $\{0, 1\}^{\mathcal{Q}}$
- ▶ On considère plutôt un espace $\mathcal{H} \subset \{0, 1\}^{\mathcal{Q}}$ qui respect l'**ordre partiel** sur \mathcal{Q} : $Q > Q'$

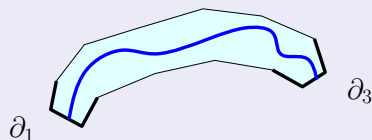
Définition



À chaque tube $Q \in \mathcal{Q}$, on associe l'événement de croisement

$$\square_Q := \{\omega \in \mathcal{H}, Q \in \omega\}$$

Définition



À chaque tube $Q \in \mathcal{Q}$, on associe l'événement de croisement

$$\square_Q := \{\omega \in \mathcal{H}, Q \in \omega\}$$

Théorème (Schramm, Smirnov)

L'espace \mathcal{H} peut être muni d'une topologie naturelle \mathcal{T} (\approx topologie de Fell) pour laquelle, $(\mathcal{H}, \mathcal{T})$ est :

- ▶ **compact**, Hausdorff et métrisable
- ▶ on fixera une distance non-explicite $d_{\mathcal{H}}$

Définition ($\lambda = 0$)

Pour chaque maille $\eta > 0$, on peut voir $\omega_\eta \sim \mathbb{P}_\eta$ comme un point aléatoire dans l'espace compact $(\mathcal{H}, d_{\mathcal{H}})$.

Définition ($\lambda = 0$)

Pour chaque maille $\eta > 0$, on peut voir $\omega_\eta \sim \mathbb{P}_\eta$ comme un point aléatoire dans l'espace compact $(\mathcal{H}, d_{\mathcal{H}})$.

Théorème (Smi 2001, CN 2006, GPS 2013)

$\omega_\eta \sim \mathbb{P}_\eta$ converge en loi dans $(\mathcal{H}, d_{\mathcal{H}})$ vers une **percolation continue**
 $\omega_\infty \sim \mathbb{P}_\infty$.

\Rightarrow ça règle le cas $\lambda = 0$

- ▶ Question 1 : soit $\lambda > 0$ fixé.

$$\text{Rappel : } p = p_c + \lambda r(\eta)$$

Est-ce que $\omega_\eta^{\text{nc}}(\lambda)$ converge en loi dans \mathcal{H} vers un objet limite ?

Hors de la “feuille critique”

- ▶ Question 1 : soit $\lambda > 0$ fixé.

$$\text{Rappel : } \rho = \rho_c + \lambda r(\eta)$$

Est-ce que $\omega_\eta^{\text{nc}}(\lambda)$ converge en loi dans \mathcal{H} vers un objet limite ?

Théorème (Nolin, Werner 2009)

Soit $\lambda \neq 0$ fixé. Toutes les valeurs d'adhérence $\omega_{\eta_k}^{\text{nc}}(\lambda) \xrightarrow{(d)} \tilde{\omega}_\infty(\lambda)$ sont telles que leurs interfaces sont **singulières** par rapport aux courbes SLE_6 !

Hors de la “feuille critique”

- ▶ Question 1 : soit $\lambda > 0$ fixé.

$$\text{Rappel : } p = p_c + \lambda r(\eta)$$

Est-ce que $\omega_\eta^{\text{nc}}(\lambda)$ converge en loi dans \mathcal{H} vers un objet limite ?

Théorème (Nolin, Werner 2009)

*Soit $\lambda \neq 0$ fixé. Toutes les valeurs d'adhérence $\omega_{\eta_k}^{\text{nc}}(\lambda) \xrightarrow{(d)} \tilde{\omega}_\infty(\lambda)$ sont telles que leurs interfaces sont **singulières** par rapport aux courbes SLE_6 !*

- ▶ Question 2 : qu'en est-il de la convergence du processus càdlàg $\lambda \mapsto \omega_\eta^{\text{nc}}(\lambda)$?

Hors de la “feuille critique”

- ▶ Question 1 : soit $\lambda > 0$ fixé.

$$\text{Rappel : } p = p_c + \lambda r(\eta)$$

Est-ce que $\omega_\eta^{\text{nc}}(\lambda)$ converge en loi dans \mathcal{H} vers un objet limite ?

Théorème (Nolin, Werner 2009)

*Soit $\lambda \neq 0$ fixé. Toutes les valeurs d'adhérence $\omega_{\eta_k}^{\text{nc}}(\lambda) \xrightarrow{(d)} \tilde{\omega}_\infty(\lambda)$ sont telles que leurs interfaces sont **singulières** par rapport aux courbes SLE_6 !*

- ▶ Question 2 : qu'en est-il de la convergence du processus càdlàg $\lambda \mapsto \omega_\eta^{\text{nc}}(\lambda)$?

On introduit l'espace de Skorohod Sk des trajectoires càdlàg à valeurs dans $(\mathcal{H}, d_{\mathcal{H}})$.

Théorème (G., Pete, Schramm 2013)

Soit $\lambda \in \mathbb{R}$ fixé.

$$\omega_{\eta}^{\text{nc}}(\lambda) \xrightarrow{(d)} \omega_{\infty}^{\text{nc}}(\lambda)$$

La convergence en loi a lieu dans l'espace $(\mathcal{H}, d_{\mathcal{H}})$.

Théorème (G., Pete, Schramm 2013)

Soit $\lambda \in \mathbb{R}$ fixé.

$$\omega_\eta^{\text{nc}}(\lambda) \xrightarrow{(d)} \omega_\infty^{\text{nc}}(\lambda)$$

La convergence en loi a lieu dans l'espace $(\mathcal{H}, d_{\mathcal{H}})$.

Théorème (G., Pete, Schramm 2013)

Le processus càdlàg $\lambda \mapsto \omega_\eta^{\text{nc}}(\lambda)$ converge en loi vers $\lambda \mapsto \omega_\infty^{\text{nc}}(\lambda)$ pour la topologie de Skorohod sur \mathcal{H} .

Modèle de la percolation dynamique : $t \mapsto \omega(t)$

Résultats (suite)

Modèle de la percolation dynamique : $t \mapsto \omega(t)$

Si $\eta \searrow 0$, on peut aussi considérer une percolation dynamique renormalisée

$$t \mapsto \omega_\eta(t) \in \mathcal{H}$$

C'est un processus càdlàg **à l'équilibre** dans \mathcal{H} .

Résultats (suite)

Modèle de la percolation dynamique : $t \mapsto \omega(t)$

Si $\eta \searrow 0$, on peut aussi considérer une percolation dynamique renormalisée

$$t \mapsto \omega_\eta(t) \in \mathcal{H}$$

C'est un processus càdlàg **à l'équilibre** dans \mathcal{H} .

Théorème (GPS 2013)

$t \mapsto \omega_\eta(t)$ converge en loi dans $\mathcal{S}k$ vers une **percolation dynamique continue** $t \mapsto \omega_\infty(t)$.

Modèle de la percolation dynamique : $t \mapsto \omega(t)$

Si $\eta \searrow 0$, on peut aussi considérer une percolation dynamique renormalisée

$$t \mapsto \omega_\eta(t) \in \mathcal{H}$$

C'est un processus càdlàg **à l'équilibre** dans \mathcal{H} .

Théorème (GPS 2013)

$t \mapsto \omega_\eta(t)$ converge en loi dans $\mathcal{S}k$ vers une **percolation dynamique continue** $t \mapsto \omega_\infty(t)$.

- ▶ Approches possibles
- ▶ Stratégie
- ▶ Difficultés
- ▶ Propriétés des objets limites

Approches possibles

Rappel du cas $\lambda = 0$ (cas critique). On a $\omega_\eta \sim \mathbb{P}_\eta$ et on veut montrer un résultat de limite d'échelle.

- ▶ tension, ✓
- ▶ **unicité** ??
- ▶ ingrédient principal pour l'unicité : la **formule de Cardy/Smirnov** !

Rappel du cas $\lambda = 0$ (cas critique). On a $\omega_\eta \sim \mathbb{P}_\eta$ et on veut montrer un résultat de limite d'échelle.

- ▶ tension, ✓
 - ▶ unicité ??
 - ▶ ingrédient principal pour l'unicité : la **formule de Cardy/Smirnov** !
- 1 Cela suggère l'approche suivante pour le cas $\lambda \neq 0$: Pour tout $p \neq p_c(\mathbb{T}) = 1/2$, trouver une **observable** F_p , **massive harmonique**

$$\Delta F_p(x) \approx m(p)F_p(x)$$

La "masse" $m(p)$ se comporterait alors en $|p - p_c|^{8/3}$.

Rappel du cas $\lambda = 0$ (cas critique). On a $\omega_\eta \sim \mathbb{P}_\eta$ et on veut montrer un résultat de limite d'échelle.

- ▶ tension, ✓
- ▶ unicité ??
- ▶ ingrédient principal pour l'unicité : la **formule de Cardy/Smirnov** !

1 Cela suggère l'approche suivante pour le cas $\lambda \neq 0$: Pour tout $p \neq p_c(\mathbb{T}) = 1/2$, trouver une **observable** F_p , **massive harmonique**

$$\Delta F_p(x) \approx m(p)F_p(x)$$

La “masse” $m(p)$ se comporterait alors en $|p - p_c|^{8/3}$.

2 Pour la limite de la percolation dynamique

$$\text{Cov}[f_\eta^1(\omega_\eta(0))f_\eta^2(\omega_\eta(t))] = \sum_S \hat{f}_\eta^1(S)\hat{f}_\eta^2(S)e^{-t|S|}$$

Rappel du cas $\lambda = 0$ (cas critique). On a $\omega_\eta \sim \mathbb{P}_\eta$ et on veut montrer un résultat de limite d'échelle.

- ▶ tension, ✓
- ▶ unicité ??
- ▶ ingrédient principal pour l'unicité : la **formule de Cardy/Smirnov** !

1 Cela suggère l'approche suivante pour le cas $\lambda \neq 0$: Pour tout $p \neq p_c(\mathbb{T}) = 1/2$, trouver une **observable** F_p , **massive harmonique**

$$\Delta F_p(x) \approx m(p)F_p(x)$$

La "masse" $m(p)$ se comporterait alors en $|p - p_c|^{8/3}$.

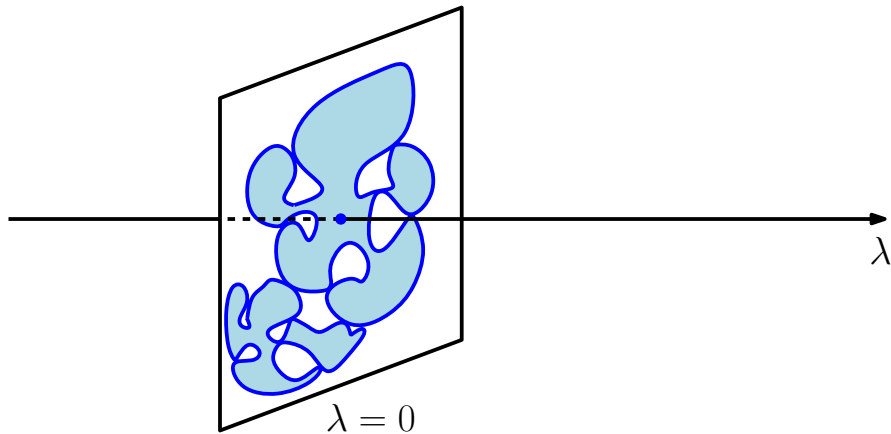
2 Pour la limite de la percolation dynamique

$$\text{Cov} [f_\eta^1(\omega_\eta(0))f_\eta^2(\omega_\eta(t))] = \sum_S \hat{f}_\eta^1(S)\hat{f}_\eta^2(S)e^{-t|S|}$$

3 Une approche "perturbative".

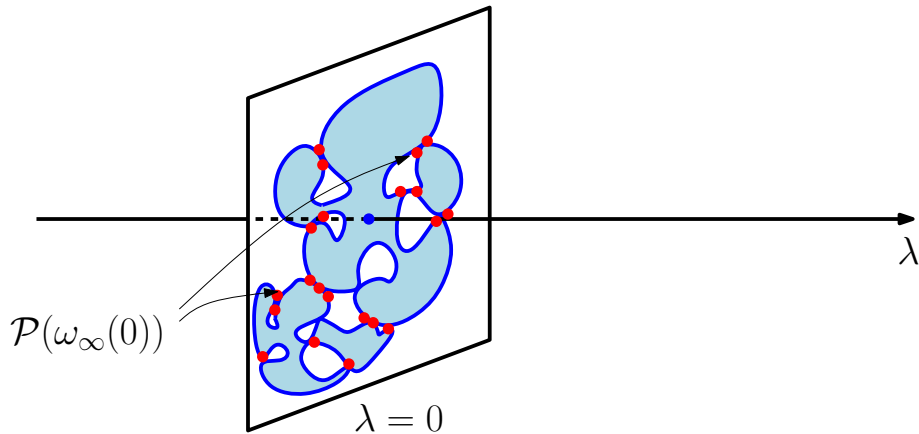
Stratégie naïve pour construire $\lambda \mapsto \omega_\infty^{\text{nc}}(\lambda)$

$$\omega_\infty(0) \sim \mathbb{P}_\infty$$

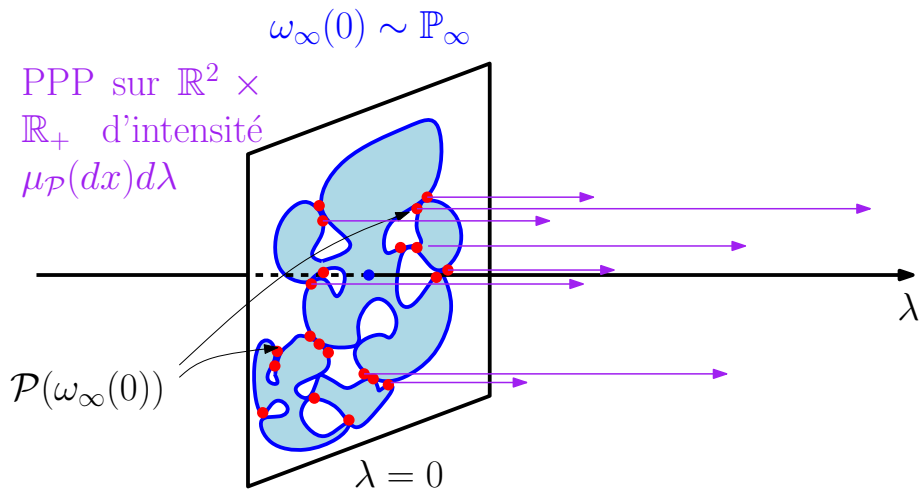


Stratégie naïve pour construire $\lambda \mapsto \omega_\infty^{\text{nc}}(\lambda)$

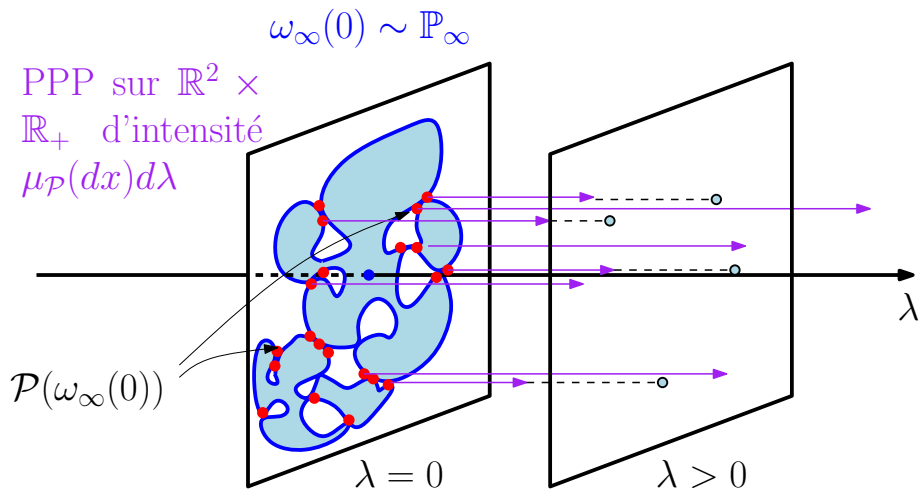
$$\omega_\infty(0) \sim \mathbb{P}_\infty$$



Stratégie naïve pour construire $\lambda \mapsto \omega_\infty^{\text{nc}}(\lambda)$



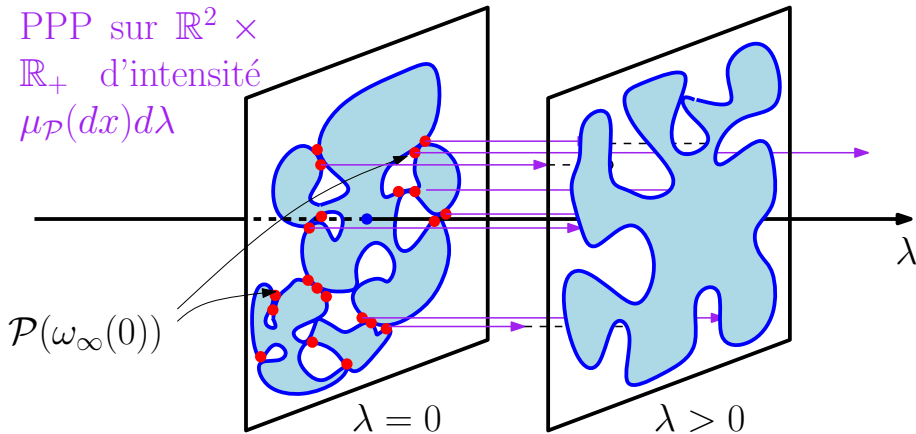
Stratégie naïve pour construire $\lambda \mapsto \omega_\infty^{\text{nc}}(\lambda)$



Stratégie naïve pour construire $\lambda \mapsto \omega_\infty^{\text{nc}}(\lambda)$

$$\omega_\infty(0) \sim \mathbb{P}_\infty \longrightarrow \omega_\infty(\lambda)$$

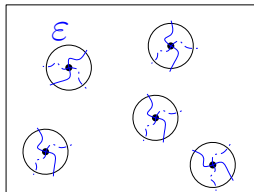
PPP sur $\mathbb{R}^2 \times \mathbb{R}_+$ d'intensité $\mu_{\mathcal{P}}(dx)d\lambda$



Difficulté 1 : "trop" de points pivots

La mesure de masse μ est dégénérée (∞) (les points pivots sont denses dans le plan).

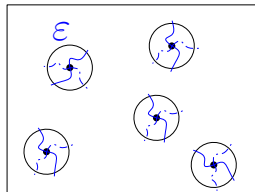
\Rightarrow on introduit un cut-off $\varepsilon > 0$ et on cherche à définir μ^ε , une mesure de masse sur les points pivots \mathcal{P}^ε .



Difficulté 1 : “trop” de points pivots

La mesure de masse μ est dégénérée (∞) (les points pivots sont denses dans le plan).

⇒ on introduit un cut-off $\varepsilon > 0$ et on cherche à définir μ^ε , une mesure de masse sur les points pivots \mathcal{P}^ε .

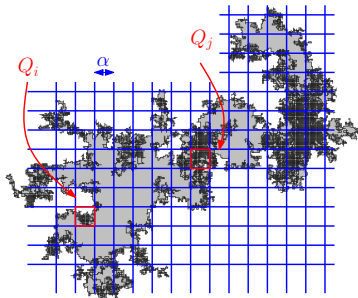


Théorème (GPS 2013)

On peut définir une application mesurable μ^ε de \mathcal{H} dans l'espace des mesures localement finies telle que

$$(\omega_\eta, \mu^\varepsilon(\omega_\eta)) \xrightarrow{(d)} (\omega_\infty, \mu^\varepsilon(\omega_\infty))$$

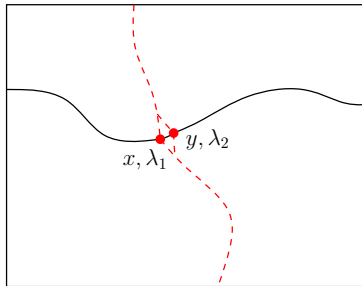
quand $\eta \searrow 0$



!!! L'application $\omega \mapsto \mu^\varepsilon(\omega)$ n'est pas continue !!!

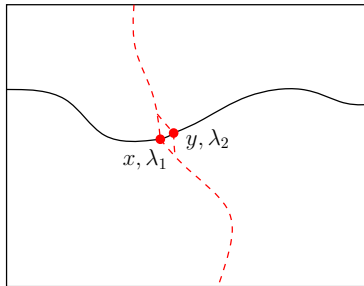
Difficulté 2 : Stabilité lorsque $\varepsilon \rightarrow 0$

Au niveau discret, cela équivaut à considérer une dynamique approchée
 $\lambda \mapsto \omega_\eta^{\text{nc},\varepsilon}(\lambda) \Rightarrow$ Pb de STABILITÉ lorsque $\varepsilon \searrow 0$?



Difficulté 2 : Stabilité lorsque $\varepsilon \rightarrow 0$

Au niveau discret, cela équivaut à considérer une dynamique approchée
 $\lambda \mapsto \omega_\eta^{\text{nc}, \varepsilon}(\lambda) \Rightarrow$ Pb de STABILITÉ lorsque $\varepsilon \searrow 0$?



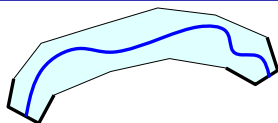
Théorème (GPS 2013)

Il existe une fonction continue $\psi : [0, 1] \rightarrow [0, 1]$, avec $\psi(0) = 0$ telle que
unif. en $0 < \eta < \varepsilon$,

$$\mathbb{E} [d_{\text{Sk}}(\omega_\eta(\cdot), \omega_\eta^\varepsilon(\cdot))] \leq \psi(\varepsilon)$$

Difficulté 3 : quelles sont les observables sur \mathcal{H} ?

1 Rappel : $\Xi_Q := \{\omega \in \mathcal{H}, Q \in \omega\}$

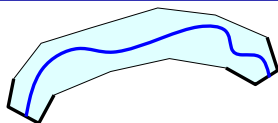


Théorème (Schramm-Smirnov 2011)

$$\mathbb{P}_\infty[\partial\Xi_Q] = 0 \Rightarrow \mathbb{P}_\eta[\Xi_Q] \rightarrow \mathbb{P}_\infty[\Xi_Q]$$

Difficulté 3 : quelles sont les observables sur \mathcal{H} ?

1 Rappel : $\Xi_Q := \{\omega \in \mathcal{H}, Q \in \omega\}$



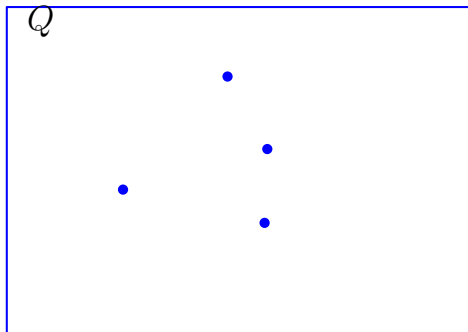
Théorème (Schramm-Smirnov 2011)

$$\mathbb{P}_\infty[\partial\Xi_Q] = 0 \Rightarrow \mathbb{P}_\eta[\Xi_Q] \longrightarrow \mathbb{P}_\infty[\Xi_Q]$$

2 !!! tout n'est pas observable dans \mathcal{H} : par exemple le **Bruit blanc**.

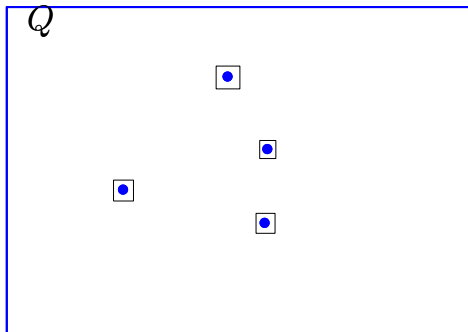
Difficulté 4 : Suivre l'évolution de $\lambda \mapsto \omega_{\infty}^{\text{nc},\varepsilon}(\lambda)$

Si on connaît $\omega_{\infty}(0) \sim \mathbb{P}_{\infty}$ ainsi que $\text{PPP}^{\varepsilon} = \text{PPP}^{\varepsilon}(\mu^{\varepsilon})$, comment définir la trajectoire $\lambda \mapsto \omega_{\infty}^{\text{nc},\varepsilon}(\lambda)$ dans \mathcal{H} ?



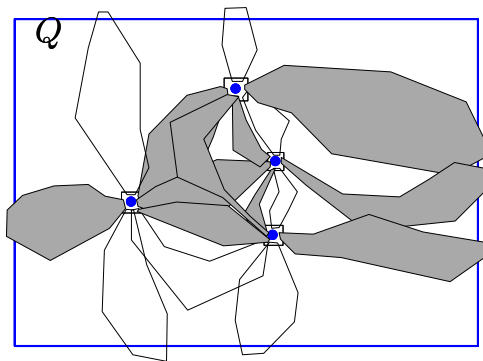
Difficulté 4 : Suivre l'évolution de $\lambda \mapsto \omega_{\infty}^{\text{nc},\varepsilon}(\lambda)$

Si on connaît $\omega_{\infty}(0) \sim \mathbb{P}_{\infty}$ ainsi que $\text{PPP}^{\varepsilon} = \text{PPP}^{\varepsilon}(\mu^{\varepsilon})$, comment définir la trajectoire $\lambda \mapsto \omega_{\infty}^{\text{nc},\varepsilon}(\lambda)$ dans \mathcal{H} ?



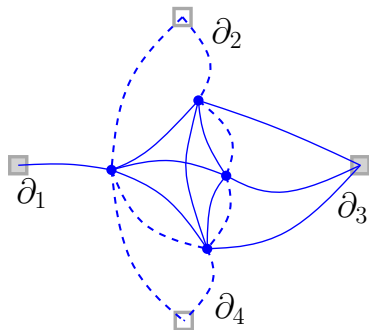
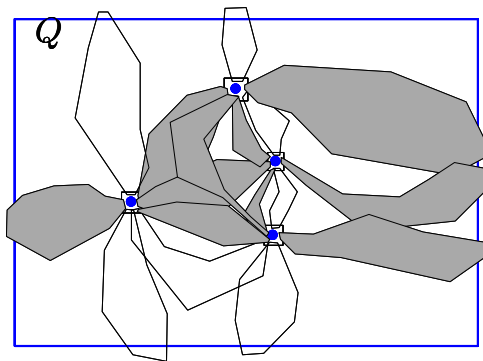
Difficulté 4 : Suivre l'évolution de $\lambda \mapsto \omega_\infty^{\text{nc},\varepsilon}(\lambda)$

Si on connaît $\omega_\infty(0) \sim \mathbb{P}_\infty$ ainsi que $\text{PPP}^\varepsilon = \text{PPP}^\varepsilon(\mu^\varepsilon)$, comment définir la trajectoire $\lambda \mapsto \omega_\infty^{\text{nc},\varepsilon}(\lambda)$ dans \mathcal{H} ?



Difficulté 4 : Suivre l'évolution de $\lambda \mapsto \omega_\infty^{\text{nc},\varepsilon}(\lambda)$

Si on connaît $\omega_\infty(0) \sim \mathbb{P}_\infty$ ainsi que $\text{PPP}^\varepsilon = \text{PPP}^\varepsilon(\mu^\varepsilon)$, comment définir la trajectoire $\lambda \mapsto \omega_\infty^{\text{nc},\varepsilon}(\lambda)$ dans \mathcal{H} ?



Propriété 1 : invariance par changement d'échelle

Théorème

L'application $z \mapsto \alpha \cdot z$ agit de la façon suivante sur la percolation presque-critique :

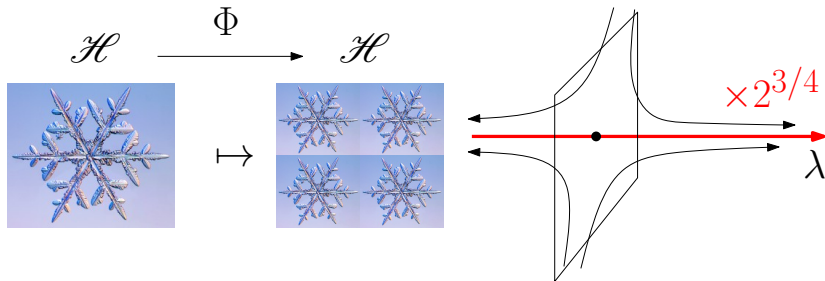
$$\left(\lambda \mapsto \alpha \cdot \omega_{\infty}^{\text{nc}}(\lambda) \right) \stackrel{(d)}{=} \left(\lambda \mapsto \omega_{\infty}^{\text{nc}}(\alpha^{-3/4} \lambda) \right)$$

Propriété 1 : invariance par changement d'échelle

Théorème

L'application $z \mapsto \alpha \cdot z$ agit de la façon suivante sur la percolation presque-critique :

$$\left(\lambda \mapsto \alpha \cdot \omega_{\infty}^{\text{nc}}(\lambda) \right) \stackrel{(d)}{=} \left(\lambda \mapsto \omega_{\infty}^{\text{nc}}(\alpha^{-3/4} \lambda) \right)$$



Théorème

L'image d'une percolation dynamique $\omega_\infty(\cdot)$ par une application conforme $\phi : D \rightarrow \tilde{D}$ est à nouveau une percolation dynamique $\tilde{\omega}_\infty(\cdot)$ dans \tilde{D} mais dont "l'horloge spatiale" tourne à vitesse $|\phi'(z)|^{-3/4}$.

Théorème

L'image d'une percolation dynamique $\omega_\infty(\cdot)$ par une application conforme $\phi : D \rightarrow \tilde{D}$ est à nouveau une percolation dynamique $\tilde{\omega}_\infty(\cdot)$ dans \tilde{D} mais dont "l'horloge spatiale" tourne à vitesse $|\phi'(z)|^{-3/4}$.

"Relativistic invariance" O Schramm, ICM 2006.

Propriétés 3 : percolation par gradient

On obtient une limite d'échelle pour la **percolation par gradient**



Propriété 4 : MARKOV

$t \mapsto \omega_\eta(t)$ et $\lambda \mapsto \omega_\eta^{\text{nc}}(\lambda)$ sont clairement Markoviens dans \mathcal{H} .
Qu'en est-il de leur limite ??

Propriété 4 : MARKOV

$t \mapsto \omega_\eta(t)$ et $\lambda \mapsto \omega_\eta^{\text{nc}}(\lambda)$ sont clairement Markoviens dans \mathcal{H} .
Qu'en est-il de leur limite ??

Theorem

- ▶ $t \mapsto \omega_\infty(t)$ est un Process de Markov réversible pour la mesure \mathbb{P}_∞ .
- ▶ $\lambda \mapsto \omega_\infty^{\text{nc}}(\lambda)$ est un Process de Markov **homogène en temps**, **non-reversible**.

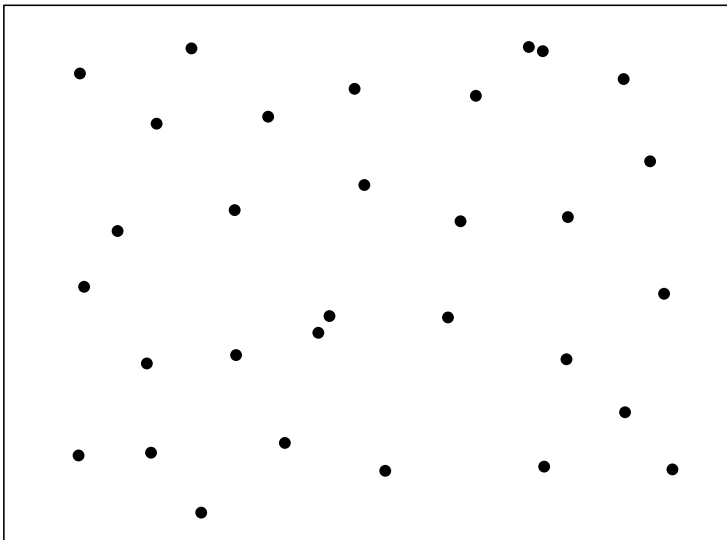
Propriété 4 : MARKOV

$t \mapsto \omega_\eta(t)$ et $\lambda \mapsto \omega_\eta^{\text{nc}}(\lambda)$ sont clairement Markoviens dans \mathcal{H} .
Qu'en est-il de leur limite ??

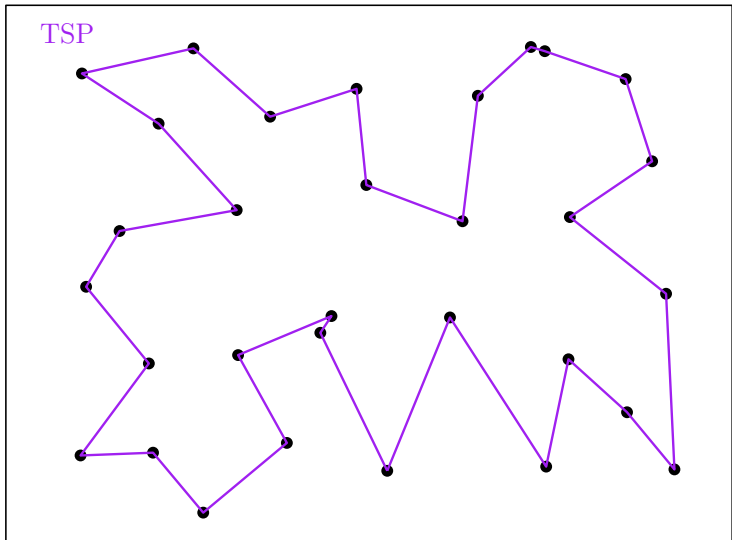
Theorem

- ▶ $t \mapsto \omega_\infty(t)$ est un Process de Markov réversible pour la mesure \mathbb{P}_∞ .
- ▶ $\lambda \mapsto \omega_\infty^{\text{nc}}(\lambda)$ est un Process de Markov **homogène en temps**, non-reversible.
- ▶ On obtient ainsi des **diffusions** naturelles sur $(\mathcal{H}, d_{\mathcal{H}})$. **!!! Ce ne sont PAS des processus de Feller.**

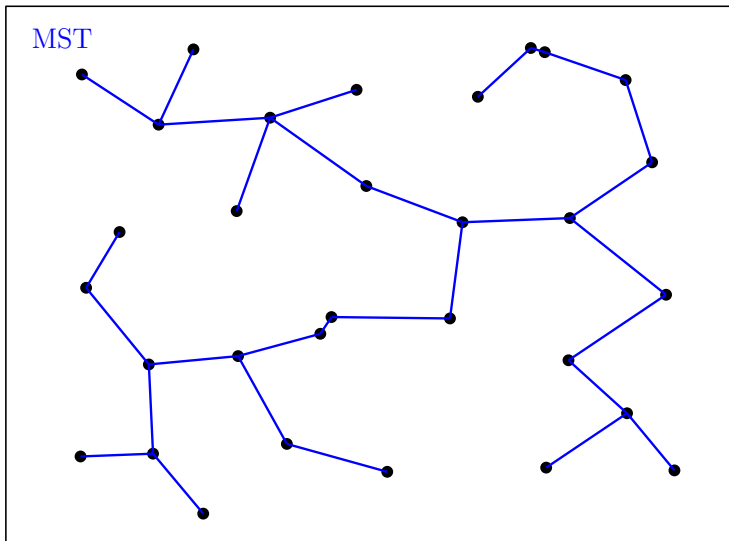
Arbre couvrant minimal (MST)

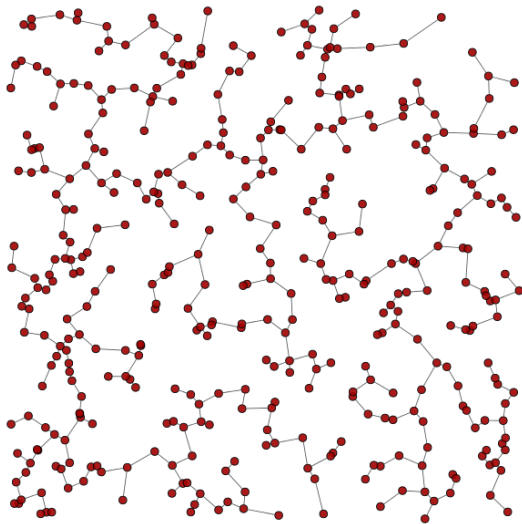


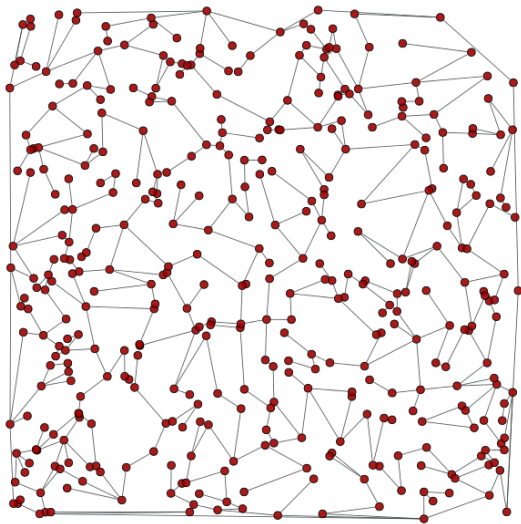
Arbre couvrant minimal (MST)



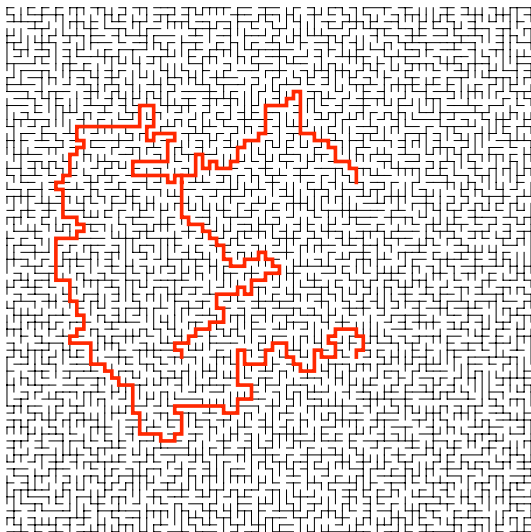
Arbre couvrant minimal (MST)







Arbre couvrant minimal sur \mathbb{Z}^2



Théorème

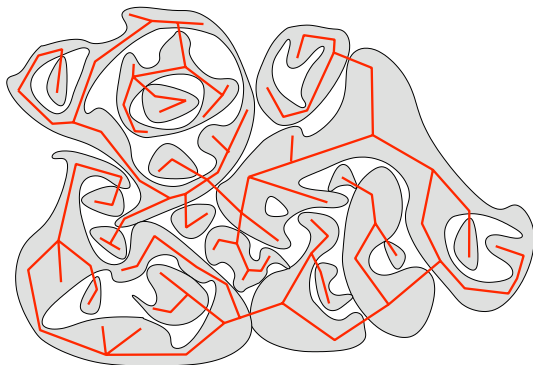
MST_η converge en loi vers MST_∞ (pour la topologie de ABNW 1999)

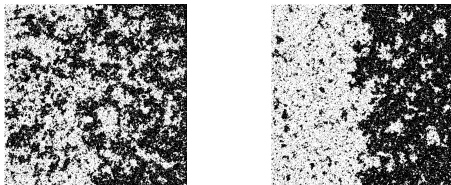
Théorème limite pour le MST

Théorème

MST_η converge en loi vers MST_∞ (pour la topologie de ABNW 1999)

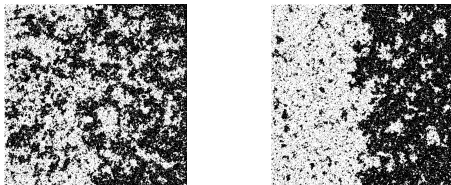
“Preuve” : on part de $\lambda = -\infty$ et on suit le processus de coalescence induit par $\lambda \mapsto \omega_\infty^{\text{nc}}(\lambda)$.





La percolation FK :

$$\mathbb{P}_{p,q}[\omega] \propto p^o (1-p)^f q^{\#\text{clusters}}$$

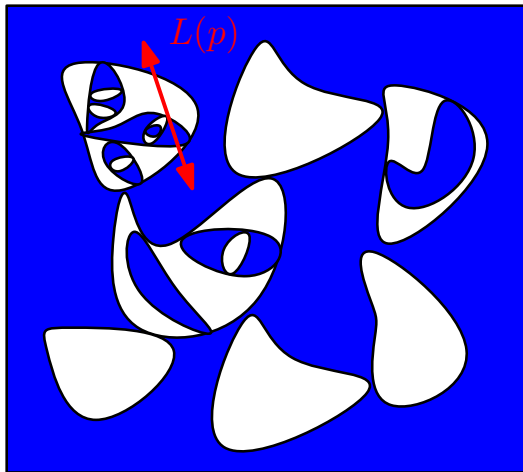


La percolation FK :

$$\mathbb{P}_{p,q}[\omega] \propto p^o (1-p)^f q^{\#\text{clusters}}$$

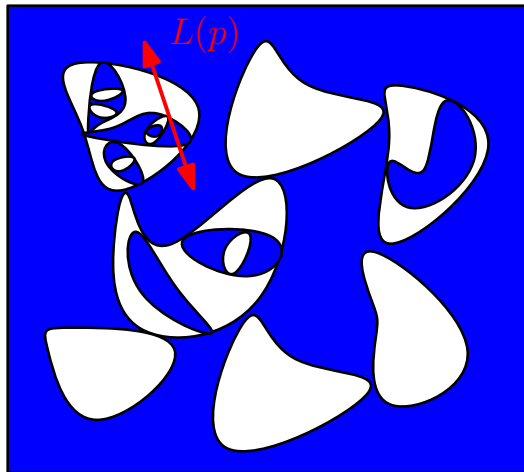
- ▶ Modèle d'Ising \leftrightarrow FK avec $q = 2$
- ▶ Dans ce cas $p = 1 - e^{-2\beta}$
- ▶ $p_c(q = 2) = \frac{\sqrt{2}}{1+\sqrt{2}}$
- ▶ Modèle d'Ising presque-critique = percolation FK presque-critique
 $p = p_c(2) + \delta p$

Notion de longueur de corrélation



$$p = p_c + \delta p$$

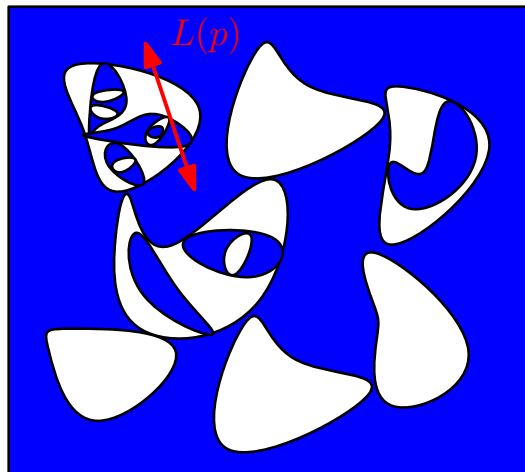
Notion de longueur de corrélation



$$p = p_c + \delta p$$

$$L(p) = \left| \frac{1}{p - p_c} \right|^{\nu + o(1)}$$

Notion de longueur de corrélation



$$p = p_c + \delta p$$

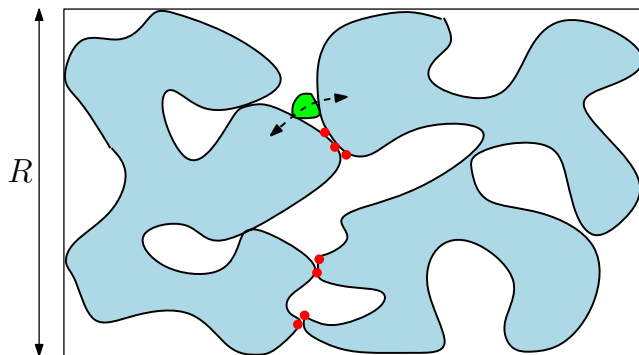
$$L(p) = \left| \frac{1}{p-p_c} \right|^{\nu+o(1)}$$

Example (critical percolation):

Theorem (Smirnov-Werner 2001):

$$L(p) = \left| \frac{1}{p-p_c} \right|^{4/3+o(1)}$$

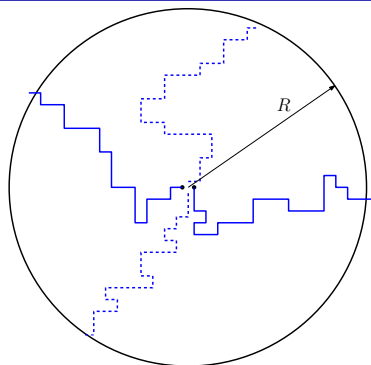
Recette pour intuer la longueur de corrélation



Soit $p = p_c + \delta p$. On cherche une échelle $R = L(p)$ telle que :

$$|p - p_c| L(p)^2 \alpha_4(L(p)) \simeq 1$$

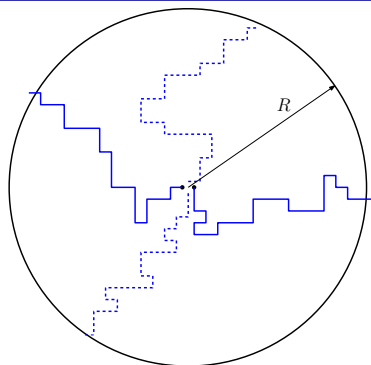
Longueur de corrélation pour la percolation FK



Conjecture (“travail en cours”
avec H. Duminil-Copin)

$$\alpha_4^{\text{FK}}(R) = R^{-\frac{35}{24} + o(1)}$$

Longueur de corrélation pour la percolation FK



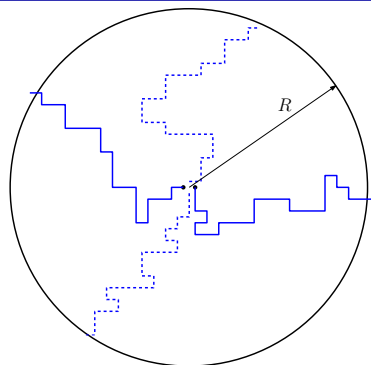
Conjecture (“travail en cours”
avec H. Duminil-Copin)

$$\alpha_4^{\text{FK}}(R) = R^{-\frac{35}{24} + o(1)}$$

En utilisant la RECETTE ci-dessus, on trouve

$$L(p) = \left| \frac{1}{p - p_c(2)} \right|^{24/13 + o(1)}$$

Longueur de corrélation pour la percolation FK



Conjecture (“travail en cours”
avec H. Duminil-Copin)

$$\alpha_4^{\text{FK}}(R) = R^{-\frac{35}{24} + o(1)}$$

En utilisant la RECETTE ci-dessus, on trouve

$$L(p) = \left| \frac{1}{p - p_c(2)} \right|^{24/13 + o(1)}$$

En contradiction avec les résultats connus depuis Onsager qui suggèrent

$$L(p) \approx \left| \frac{1}{p - p_c} \right| \ll \left| \frac{1}{p - p_c} \right|^{24/13}$$

Trois hypothèses possibles :

Trois hypothèses possibles :

- 1 Onsager s'est trompé (en 1944 ...)

Trois hypothèses possibles :

- 1 Onsager s'est trompé (en 1944 ...)
- 2 On s'est trompé dans le calcul de l'exposant α_4^{FK}

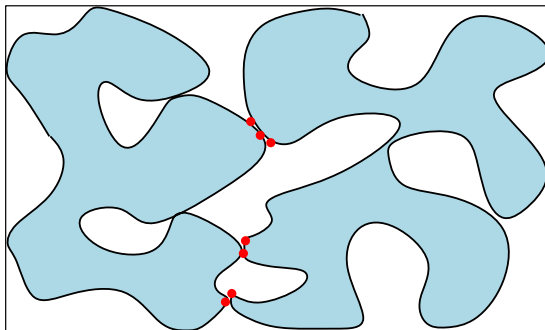
Trois hypothèses possibles :

- 1 Onsager s'est trompé (en 1944 ...)
- 2 On s'est trompé dans le calcul de l'exposant α_4^{FK}
- 3 Le mécanisme qui sous-tend le régime presque-critique est plus subtil qu'en percolation presque-critique.

Trois hypothèses possibles :

- 1 Onsager s'est trompé (en 1944 ...)
- 2 On s'est trompé dans le calcul de l'exposant α_4^{FK}
- 3 Le mécanisme qui sous-tend le régime presque-critique est plus subtil qu'en percolation presque-critique.

⇒ **couplages monotones** de Grimmett



Théorème (Duminil-Copin, G., Pete, 2011)

On fixe $q = 2$. Il existe une constante $c > 0$ t.q.

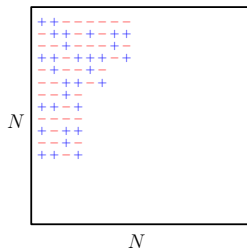
$$c \frac{1}{|p - p_c|} \leq L(p) \leq c^{-1} \frac{1}{|p - p_c|} \log \frac{1}{|p - p_c|}$$

pour tout $p \neq p_c$.

Technique de preuve :

- ▶ Sans passer par l'étude du phénomène d'auto-organisation
- ▶ On utilise l'observable para-fermionique de Smirnov hors de $p = p_c$ (on suit ici les travaux antérieurs de Beffara, Duminil-Copin).

Champ magnétique critique du modèle d'Ising

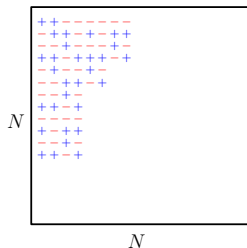


Théorème (Camia, G., Newman, 2012)

(i) $m_N := \frac{\sum \sigma_x}{N^{15/8}} \xrightarrow{(d)} m_\infty$

(ii) La distribution $\Phi_N := \sum_{x \in \frac{1}{N}\mathbb{Z}^2} N^{-15/8} \sigma_x \delta_x$ converge en loi (pour la topologie de \mathcal{H}^{-3}) vers Φ_∞

Champ magnétique critique du modèle d'Ising



Théorème (Camia, G., Newman, 2012)

(i) $m_N := \frac{\sum \sigma_x}{N^{15/8}} \xrightarrow{(d)} m_\infty$

(ii) La distribution $\Phi_N := \sum_{x \in \frac{1}{N}\mathbb{Z}^2} N^{-15/8} \sigma_x \delta_x$ converge en loi (pour la topologie de \mathcal{H}^{-3}) vers Φ_∞

Théorème

On obtient ainsi un modèle d'Ising presque-critique en pondérant par $e^{h \langle \Phi_\infty, 1_{\Lambda_L} \rangle}$.

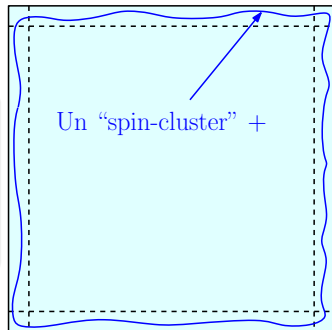
preuve :

- 1 Mesures d'aires sur les clusters FK
- 2 En utilisant les fonctions à k -points de Chelkak, Hongler et Izyurov

Théorème

$$\mathbb{P}[m_\infty > x] \approx e^{-C x^{16}},$$

où la constante C ne dépend PAS des conditions au bord.

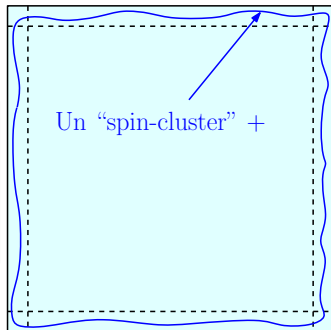


Champ magnétique critique (suite)

Théorème

$$\mathbb{P}[m_\infty > x] \approx e^{-C x^{16}},$$

où la constante C ne dépend PAS des conditions au bord.



Résultats presque-critiques classiques :

Théorème (Smirnov, Werner, 2001)

$$\theta_T(p) = (p - 1/2)_+^{5/36 + o(1)}$$

Théorème (Onsager 1944)

$$\langle \sigma_0 \rangle_\beta^+ \asymp (\beta - \beta_c)_+^{1/8}$$

Théorème (CGN 2012)

$$\langle \sigma_0 \rangle_{\beta_c, h} \asymp h^{1/15}$$

- ▶ $\tilde{L}(p) \approx \left| \frac{1}{p-p_c} \right|^{24/13}$ ne décrit PAS la longueur de corrélation du système presque-critique.

- ▶ $\tilde{L}(p) \approx \left| \frac{1}{p-p_c} \right|^{24/13}$ ne décrit PAS la longueur de corrélation du système presque-critique.
- ▶ En revanche, elle décrit bien une **longueur de corrélation** pour la dynamique non-locale (type “heat-bath”) qui préserve FK critique !

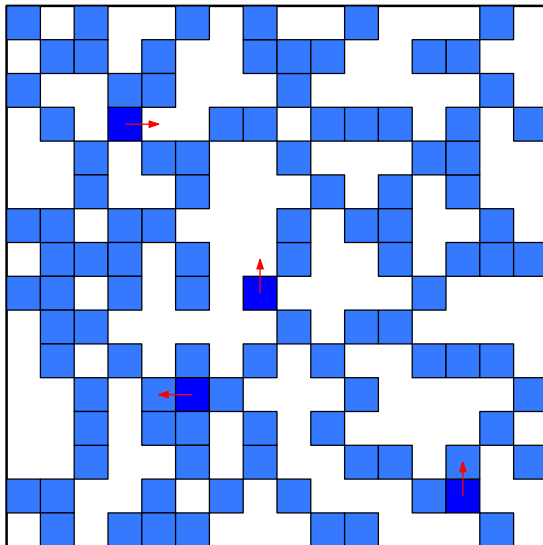
Une dynamique à l'équilibre pour FK

- ▶ $\tilde{L}(p) \approx \left| \frac{1}{p-p_c} \right|^{24/13}$ ne décrit PAS la longueur de corrélation du système presque-critique.
- ▶ En revanche, elle décrit bien une **longueur de corrélation** pour la dynamique non-locale (type “heat-bath”) qui préserve FK critique !

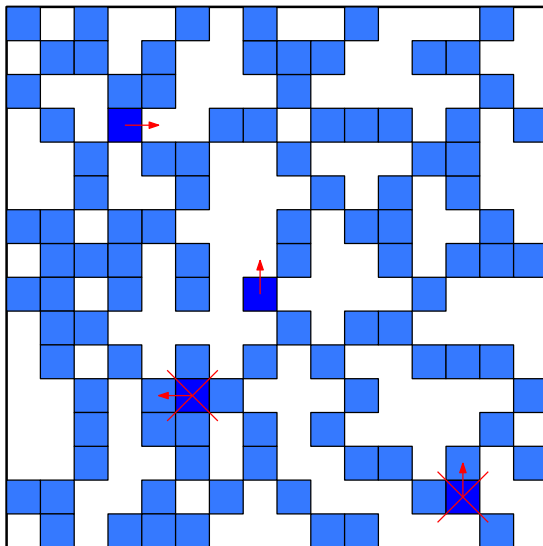
Théorème (en cours avec G. Pete)

*Si $t \mapsto \omega^{\text{FK}}(t)$ est la dynamique critique (de type “heat-bath”) à l'équilibre, alors l'ensemble des **temps exceptionnels** où une composante connexe infinie apparaît est p.s. de dimension $\leq \frac{10}{13}$.*

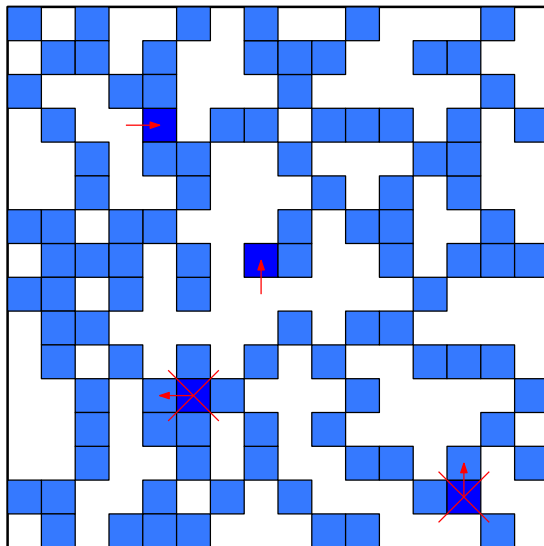
Percolation dynamique conservative

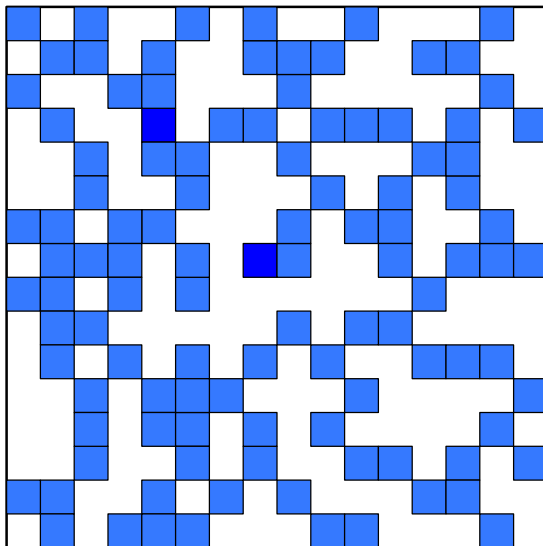


Percolation dynamique conservative

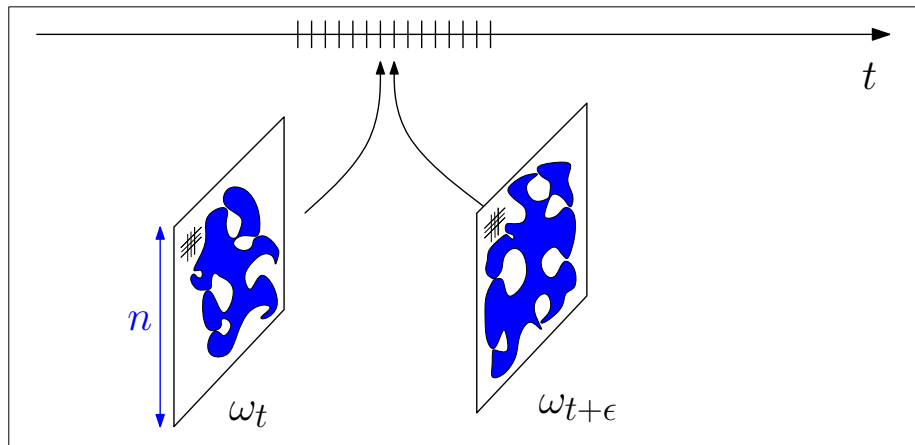


Percolation dynamique conservative

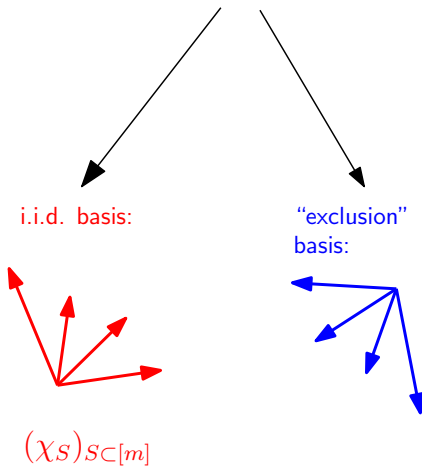




Sensibilité au bruit



$$f_n : \{-1, 1\}^{n^2} \rightarrow \{0, 1\}$$



Théorème (Broman, G., Steif, 2011)

Si le noyau est tel que

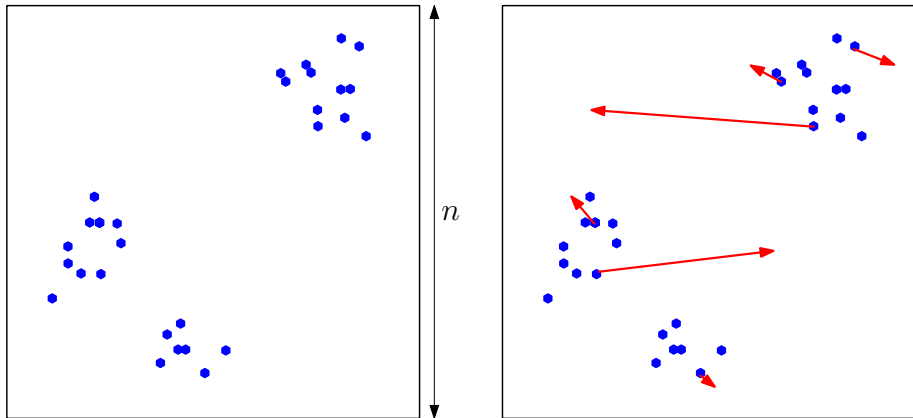
$$P(x, y) \asymp \frac{1}{\|x - y\|^{2+\alpha}}$$

pour un exposant $\alpha > 0$, alors sur $\mathbb{Z}^{2,\text{site}}$, $\mathbb{Z}^{2,\text{bond}}$ ou \mathbb{T} , au point critique, on a

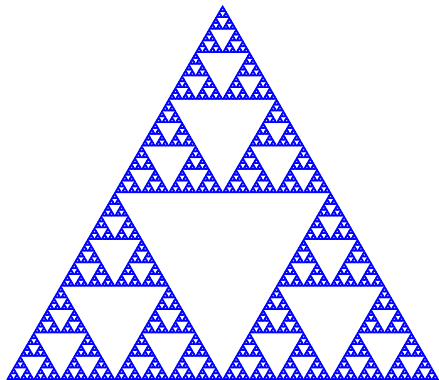
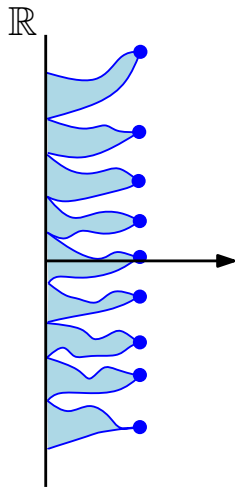
$$\text{Cov}[f_n(\omega_0^P), f_n(\omega_t^P)] \xrightarrow[n \rightarrow \infty]{} 0$$

De plus on peut choisir $t = t_n \geq n^{-\beta(\alpha)}$.

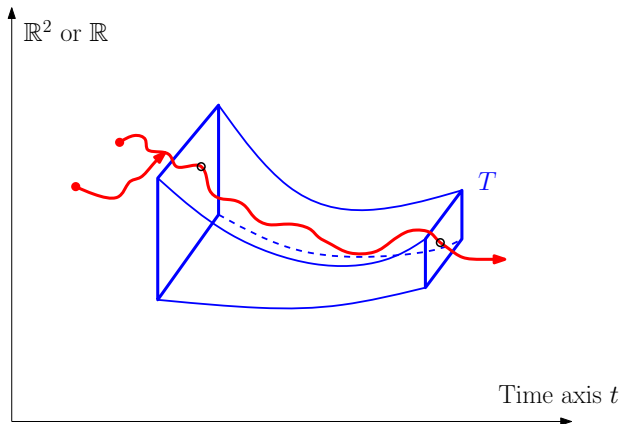
“Preuve” : étudier la diffusion du **spectre de Fourier** sous le processus d'exclusion



Flots coalescents



Nouvel espace pour les flots coalescents, inspiré de l'espace de Schramm-Smirnov \mathcal{H}



Théorème (Berestycki, G, Sen, 2013)

- (i) On définit un flot coalescent ξ_∞^S sur le triangle de Sierpinski
- (ii) principe d'invariance :

$$\xi_\eta^S \xrightarrow{(d)} \xi_\infty^S$$

Théorème (Berestycki, G, Sen, 2013)

- (i) On définit un flot coalescent ξ_∞^S sur le triangle de Sierpinski
- (ii) principe d'invariance :

$$\xi_\eta^S \xrightarrow{(d)} \xi_\infty^S$$

Théorème (Bel Houri, Mountford, Sun, Valle 2006)

Pour la convergence vers le Brownian Web en $d = 1$

- ▶ $\mathbb{E}[X^{3+\varepsilon}] < \infty$ est suffisant pour un principe d'invariance
- ▶ $\mathbb{E}[X^{3-\varepsilon}] < \infty$ est nécessaire !

Théorème (Berestycki, G, Sen, 2013)

- (i) On définit un flot coalescent ξ_∞^S sur le triangle de Sierpinski
- (ii) principe d'invariance :

$$\xi_\eta^S \xrightarrow{(d)} \xi_\infty^S$$

Théorème (Bel Houri, Mountford, Sun, Valle 2006)

Pour la convergence vers le Brownian Web en $d = 1$

- ▶ $\mathbb{E}[X^{3+\varepsilon}] < \infty$ est suffisant pour un principe d'invariance
- ▶ $\mathbb{E}[X^{3-\varepsilon}] < \infty$ est nécessaire !

Théorème (BGS 2013)

On montre un principe d'invariance vers le Brownian Web si et seulement si

$$\mathbb{E}[X^2] = \sigma^2 < \infty$$

Théorème (Berestycki, G, Sen, 2013)

- (i) On définit un flot coalescent ξ_∞^S sur le triangle de Sierpinski
- (ii) principe d'invariance :

$$\xi_\eta^S \xrightarrow{(d)} \xi_\infty^S$$

Théorème (Bel Houri, Mountford, Sun, Valle 2006)

Pour la convergence vers le Brownian Web en $d = 1$

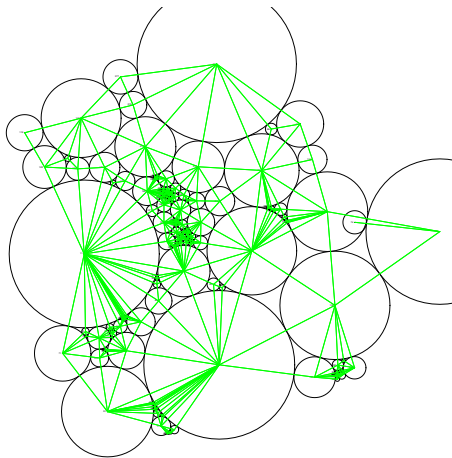
- ▶ $\mathbb{E}[X^{3+\varepsilon}] < \infty$ est suffisant pour un principe d'invariance
- ▶ $\mathbb{E}[X^{3-\varepsilon}] < \infty$ est nécessaire !

Théorème (BGS 2013)

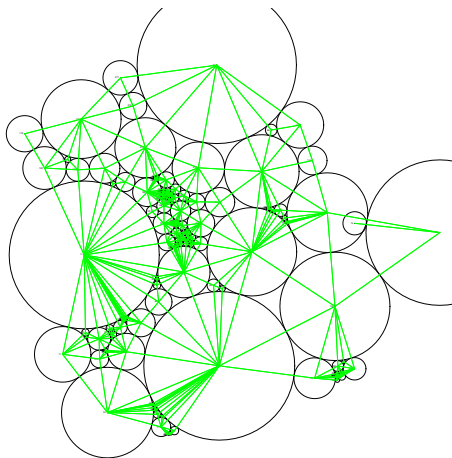
On montre un principe d'invariance vers le Brownian Web si et seulement si

$$\mathbb{E}[X^2] = \sigma^2 < \infty$$

Gravité quantique de Liouville



Gravité quantique de Liouville



Conjecture

La mesure empirique de ce plongement tend en loi vers la mesure de Liouville $\mu := \exp[\sqrt{8/3} h]$ où h est un champ libre Gaussien

Une FORME VOLUME

$$"e^{\gamma h} dx dy"$$

Une FORME VOLUME

$$"e^{\gamma h} dx dy"$$

Une métrique Riemannienne

$$"e^{\gamma h} (dx^2 + dy^2)"$$

Une FORME VOLUME

$$"e^{\gamma h} dx dy"$$

Une métrique Riemannienne

$$"e^{\gamma h} (dx^2 + dy^2)"$$

Une DIFFUSION

$$"dB_t = e^{-\frac{\gamma}{2}h} dW_t"$$

Trois objets Riemanniens naturels sur \mathbb{S}^2 muni d'un GFF

Une FORME VOLUME

$$"e^{\gamma h} dx dy"$$

Kahane (1985)

Duplantier-Sheffield

Benjamini-Schramm

Rhodes-Vargas

Une métrique Riemannienne

$$"e^{\gamma h} (dx^2 + dy^2)"$$

Une DIFFUSION

$$"dB_t = e^{-\frac{\gamma}{2}h} dW_t"$$

Une FORME VOLUME

$$"e^{\gamma h} dx dy"$$

Kahane (1985)

Duplantier-Sheffield

Benjamini-Schramm

Rhodes-Vargas

Une métrique Riemannienne

$$"e^{\gamma h} (dx^2 + dy^2)"$$

?????????

Une DIFFUSION

$$"dB_t = e^{-\frac{\gamma}{2}h} dW_t"$$

Trois objets Riemanniens naturels sur \mathbb{S}^2 muni d'un GFF

Une FORME VOLUME

$$"e^{\gamma h} dx dy"$$

Kahane (1985)

Duplantier-Sheffield

Benjamini-Schramm

Rhodes-Vargas

Une métrique Riemannienne

$$"e^{\gamma h} (dx^2 + dy^2)"$$

?????????

Une DIFFUSION

$$"dB_t = e^{-\frac{\gamma}{2}h} dW_t"$$

ILL-POSED

G.-Rhodes-Vargas

Trois objets Riemanniens naturels sur \mathbb{S}^2 muni d'un GFF

Une FORME VOLUME
“ $e^{\gamma h} dx dy$ ”

Kahane (1985)
Duplantier-Sheffield
Benjamini-Schramm
Rhodes-Vargas

Une métrique Riemannienne

$$“e^{\gamma h} (dx^2 + dy^2)”$$

?????????



Une DIFFUSION

$$“dB_t = e^{-\frac{\gamma}{2}h} dW_t”$$

ILL-POSED

G.-Rhodes-Vargas

Trois objets Riemanniens naturels sur \mathbb{S}^2 muni d'un GFF

Une FORME VOLUME
“ $e^{\gamma h} dx dy$ ”

Kahane (1985)
Duplantier-Sheffield
Benjamini-Schramm
Rhodes-Vargas

Une métrique Riemannienne
“ $e^{\gamma h} (dx^2 + dy^2)$ ”
?????????

Stollmann
Sturm

Une DIFFUSION
“ $dB_t = e^{-\frac{\gamma}{2} h} dW_t$ ”
ILL-POSED

G.-Rhodes-Vargas

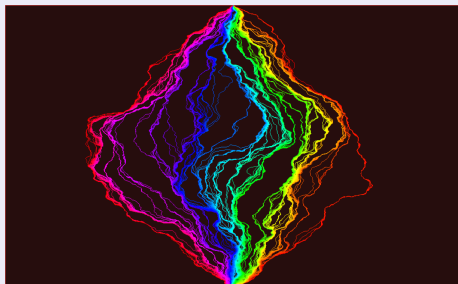
Théorème (G., Rhodes, Vargas 2013)

Pour tout $\gamma < \gamma_c = 2$, étant donné un champ libre Gaussien h sur \mathbb{S}^2 , on peut définir un semi-groupe P_t^h sur \mathbb{S}^2 tel que, p.s. en h :

- (i) $(P_t^h)_{t \geq 0}$ est un processus de Feller sur \mathbb{S}^2
- (ii) (P_t^h) est réversible par rapport à la mesure de Liouville M_γ

Théorème (Juhan Aru, 2013)

Il existe des ensembles qui dépendent naturellement du champ libre h et pour lesquels la relation KPZ n'est PAS satisfaite !



- ▶ Formules de KPZ pour les lignes de niveaux/flots (SLE_{κ} , $\kappa \in [0, 8]$).
- ▶ Etude des moments exponentiels du **winding** des processus SLE_{κ}
- ▶ Pour plus de détails : Juhan Aru, [arXiv:1312.1324](https://arxiv.org/abs/1312.1324)